



## تشخیص ناپایداری شعله در مشعل پیشآمیخته شعله سطحی با استفاده از تحلیل فرکانسی

محمد هادی بدرخواهان<sup>۱</sup>، محمد ضابطیان طرقی<sup>۲\*</sup> و محمد رضا کرفی<sup>۳</sup>

۱- کارشناس ارشد، مهندسی مکانیک، دانشگاه تربیت مدرس، تهران، M.badrkhahan@modares.ac.ir

۲- استادیار، مهندسی مکانیک، دانشگاه تربیت مدرس، تهران، Zabetian@modares.ac.ir

۳- استادیار، مهندسی مکانیک، دانشگاه تربیت مدرس، تهران، Karafii@modares.ac.ir

\* نویسنده مخاطب

(تاریخ دریافت: ۹۸/۰۶/۰۴، دریافت آخرین اصلاحات: ۹۸/۰۳/۱۰، پذیرش: ۹۸/۱۰/۱۰)

چکیده: در این پژوهش، با استفاده از حسگر نوری و سیستم داده‌برداری، به بررسی پایداری مشعل شعله سطحی پرداخته می‌شود. نوسانات شدت نور توسط حسگر نوری اندازه‌گیری و سپس، با استفاده از تبدیل فوریه سریع، از فضای زمانی به فضای فرکانسی انتقال داده شد و از منحنی پاسخ فرکانسی، فرکانس طبیعی نوسانات استخراج شد. برای اینکه بتوانیم رفتار دینامیک را برای شعله پیشآمیخته نشان دهیم، شعله‌های پیشآمیخته به دو ناحیه شعله‌های سلولی و شعله‌های مسطح تقسیم‌بندی می‌شوند. این تقسیم‌بندی وابسته به نرخ جریان و نسبت هم‌ارزی است. در شعله‌های مسطح، با افزایش نرخ جریان، به دلیل افزایش سرعت گازهای داغ سوخته شده، فرکانس نوسانات نیز افزایش می‌یابد. در شعله‌های سلولی، با افزایش نرخ جریان، فرکانس نوسانات کاهش پیدا می‌کند. در نرخ‌های جریان یکسان، کاهش شدید فرکانس نوسانات نشان‌دهنده ظهور شعله‌های سلولی است. بنابراین، امکان تشخیص گذر شعله از حالت مسطح به سلولی فراهم می‌شود. زمانی که در یک نرخ جریان ثابت، با افزایش نسبت هم‌ارزی، شاهد افزایش فرکانس نوسانات نباشیم، انتقال از شعله سلولی به شعله مسطح اتفاق می‌افتد. شروع انتقال از شعله سلولی به شعله مسطح در نرخ‌های جریان ۱/۱، ۱/۲، ۱/۳، ۱/۴، ۱/۵ و ۱/۶ مترمکعب بر ساعت به ترتیب در نسبت‌های هم‌ارزی ۶/۰، ۶/۰۴، ۶/۰۶۲، ۶/۰۶۷ و ۶/۰۶۶ اتفاق می‌افتد. محل شروع انتقال منطبق بر شروع ناحیه برخاستگی براساس پردازش تصویر است. این پژوهش، دارای جنبه‌های تازه‌ای از بررسی پایداری شعله می‌باشد بدون آنکه سبب اختلال در شکل شعله شود و به رژیم شعله آسیب وارد کند.

کلیدواژگان: ناپایداری ذاتی، شعله سلولی، شعله مسطح، فرکانس طبیعی نوسانات، تحلیل فرکانسی

### مقدمه

یکی از ابزارهای اندازه‌گیری در احتراق بررسی نور تابیده شده از شعله است. نور تابیده شده از شعله می‌تواند بدون تحریک منبع انرژی خارجی یا توسط تحریک منبع انرژی خارجی مورد بررسی قرار گیرد که به آن‌ها روش‌های غیرتداخلی گفته می‌شود. برخی از روش‌ها در تشخیص‌های احتراقی به صورت تداخلی است به این معنا که حسگر اندازه‌گیری به صورت مستقیم در محل اندازه‌گیری قرار می‌گیرد. این مسئله می‌تواند در شعله منجر به واکنش‌های ناخواسته و اختلال در شکل شعله شود. همچنین، ممکن است که دسترسی به شعله امکان‌پذیر نباشد. در این موقع، روش‌های غیرتداخلی مطرح می‌شود که تحلیل سری زمانی از جمله این روش‌هاست [۱]. اندازه‌گیری‌های تداخلی شامل روش فعال و غیرفعال است. روش‌های فعال روش‌هایی هستند که در آن لیزر به کار می‌رود و عموماً بستر آزمون این‌گونه از روش‌ها گران‌قیمت است [۱]. روش‌های غیرفعال روش‌هایی هستند که در آن‌ها لیزر به کار نمی‌رود. بررسی سنجش تابش شعله به کمک فیبرنوری، حسگر نوری<sup>۱</sup> و دوربین از جمله این روش‌هاست که به طور کلی به آن‌ها طیف‌سنجی تابشی شعله یا FES<sup>۲</sup> گفته می‌شود.

1. Photodiode

2. Flame Emission Spectroscopy

تشخیص ناپایداری شعله در شعله‌های پیش‌آمیخته از روی تحلیل سری زمانی و با استفاده از تحلیل فرکانسی توسط حسگر نوری انجام می‌شود. به این صورت که با تحلیل مجموعه‌ای از فرکانس طبیعی نوسانات (فرکانس پیک) می‌توان نسبت‌های همارزی که شعله در آن ناپایدار است را تشخیص داد. ناپایداری شعله‌های پیش‌آمیخته در آزمایش‌ها به صورت شعله‌های سلولی و رفتار دینامیکی پیشانی شعله مشاهده می‌شود<sup>[۳،۲]</sup>. ناپایداری ذاتی شعله‌های پیش‌آمیخته به صورت عمدۀ شامل اثرات هیدرودینامیکی ناشی از انبساط حرارتی میان پیشانی شعله و اثرات اغتشاشی-دماجی ناشی از پیش‌گرفتن نفوذ جرم در مقابل نفوذ حرارت (عدد لوئیس کمتر از یک) است<sup>[۴]</sup>. تحقیقات و آزمایش‌ها نشان می‌دهد که شکل و رفتار پیشانی شعله به شدت وابسته به ناپایداری ذاتی است<sup>[۵-۸]</sup>. ناپایداری ذاتی زیادی روی رفتار دینامیکی شعله‌های پیش‌آمیخته دارد و این رفتار دینامیکی به صورت زیادی وابسته به نوسانات شدت نور است<sup>[۹]</sup>.

با تحلیل سری زمانی و متعاقب آن تحلیل فرکانسی، می‌توانیم سطوح ناپایداری را تخمین بزنیم. می‌توان با استفاده از روش‌های عددی، روش‌های آزمایشگاهی یا روش تحلیل سری زمانی، ناپایداری شعله را تشخیص داد. درواقع، تحلیل سری زمانی ناپایداری شعله را از زاویه دیگری بررسی می‌کند.

گوتودا و همکاران، در سال ۲۰۰۲[۱۰] و ۲۰۰۵[۱۱]، جابه‌جایی پیشانی شعله مشعل بانسن<sup>۱</sup> را از دیدگاه دینامیک غیرخطی مورد بررسی قرار دادند. وی سری زمانی جابه‌جایی پیشانی شعله را رسم کرد. سپس، با انجام تبدیل فوریه سریع (FFT)<sup>۲</sup> مقدار فرکانس‌های اصلی تغییرات مکانی پیشانی شعله را به دست آورد. گوتودا، علاوه‌بر به دست آوردن فرکانس اصلی، برای تحلیل شعله، به عنوان یک پدیده دینامیکی غیرخطی، از جاذب بازسازی شده استفاده کرده است. این جاذب براساس تئوری تیکن[۱۲]، که در سال ۱۹۸۱ به دست آمده است، تولید می‌شود.

کاپرادرپ و همکاران[۱۳]، در سال ۲۰۰۷، اثرات افت گرما روی رفتار اغتشاشی شعله پیش‌آمیخته سلولی را به صورت عددی، مورد مطالعه قرار دادند. ایشان دریافتند که اثرات افت گرما روی شعله پیش‌آمیخته سلولی ناشی از ناپایداری ذاتی این شعله‌هاست. این ناپایداری ذاتی ناشی از عدد لوییس کمتر از یک است؛ یعنی نفوذ جرم از نفوذ حرارت پیشی می‌گیرد و باعث افت حرارت می‌شود. وی تحلیل سری زمانی را روی نوسانات سرعت شعله آرام اجرا کرد و مشاهده کرد که در نمودار دامنه بر حسب فرکانس، یک فرکانس پیک وجود دارد. این فرکانس پیک همان فرکانس طبیعی نوسانات سرعت شعله است. سپس، جاذب بازسازی شده را برای سری زمانی یادشده به دست آورد. درنهایت، با تحلیل این جاذب و به دست آوردن همبستگی ابعادی، توانست تاثیر افت گرما روی ناپایداری ذاتی شعله‌های پیش‌آمیخته سلولی را تحلیل کند.

کادوواکی و همکاران[۱۴]، در سال ۲۰۰۸، کار کاپرادرپ و گوتودا را ادامه داده و این بار سری زمانی شدت نور دریافتی از شعله پیش‌آمیخته رقیق را مورد بررسی قرار دادند. نور دریافتی از شعله همان نور ساطع شده از رادیکال‌های شعله است. بنابراین، تاثیر زیادی روی دینامیک شعله و در ادامه، روی ناپایداری ذاتی شعله‌های پیش‌آمیخته رقیق دارد. وی، با بررسی شدت نور دریافتی از شعله نسبت به زمان، توانست روشی را ابداع کند که ناپایداری شعله توسط آن قابل تخمین باشد. کادوواکی نشان داد که هرچه نسبت همارزی از یک کمتر می‌شود، شعله پیش‌آمیخته به سمت سلولی شدن و ناپایداری پیش می‌رود. نوسانات شدت نور دریافتی نسبت به زمان در نسبت همارزی ۶۶/۰ شدیدتر از نسبت همارزی ۱ است. وی دلیل این موضوع را ناپایداری ذاتی شعله رقیق و اثرات افت گرما، ناشی از پیش‌گرفتن نفوذ جرم نسبت به نفوذ حرارت، دانست. به همین دلیل است که در نسبت همارزی ۶۶/۰ و نرخ جریان ۴۰ لیتر بر دقیقه نوسانات بسیار شدیدتری مشاهده می‌شود. زیرا، افزایش نرخ جریان باعث افزایش تاثیر ناپایداری ناشی از عدد لوییس کمتر از یک می‌شود. وی، با انجام FFT بر روی سری زمانی نشان داد که در نسبت‌های همارزی پایین، فرکانس پیک نیز کمتر است. این فرکانس پیک همان فرکانس عمومی شعله‌های پیش‌آمیخته است که عمدتاً ناشی از جریان برشی بین گازهای داغ سوخته شده و گازهای اتمسفر است.

1. Bunsen burner

2. Fast Fourier Transform

لی و همکاران، در سال ۲۰۱۱[۱۵]، به بررسی پایداری شعله در مشعل شعله سطحی استوانه‌ای پرداختند. در این پژوهش، چهار مشعل شعله سطحی استوانه‌ای با ساختار سوراخ‌های مختلف مورد بررسی قرار گرفت و از میان این مشعل‌ها آرایش بهینه از نظر محدوده پایداری شعله انتخاب شد. در این پژوهش، محدوده پایداری براساس نمودار نسبت همارزی بحسب نرخ جریان ورودی بین دو حالت بازگشت شعله در دبی‌های کم و خاموشی شعله در دبی‌های بالا تعریف می‌شد.

تحقیقات کادوواکی [۱۶]، کاپراداپ، گوتودا و دیگران [۱۷-۱۰] یک روش جدید برای تحلیل مشخصه‌های احتراقی شعله‌های پیش‌آمیخته محسوب می‌شود. بررسی رفتار دینامیکی شعله، اعمار جابه‌جایی پیشانی شعله [۱۸-۱۶]، نوسانات شدت نور دریافتی [۱۹-۲۱]، سرعت سوزش [۲۲] و غیره در واحد زمان، اطلاعات خوبی در مورد پایداری و ناپایداری شعله ارائه می‌دهد. مشعل پیش‌آمیخته شعله سطحی در موارد صنعتی مانند دیگ‌های چگالشی کاربرد دارد. این پژوهش، دارای جنبه‌های تازه‌ای از بررسی پایداری شعله می‌باشد بدون آنکه سبب اختلال در شکل شعله شود و به رژیم شعله آسیب وارد کند. در کاربردهای صنعتی از آشکارسازهای نوری، صرفاً برای شرایط راه‌اندازی مشعل‌ها، استفاده می‌شود، اما می‌توان از آشکارسازهای نوری برای شرایط تنظیم مشعل‌ها نیز استفاده کرد. درواقع، نقشه تنظیم مشعل را با این آشکارسازهای نوری ارائه کرد، به این ترتیب که به صورت پویا یا دینامیک، شرایط کارکرد تنظیم مشعل ارائه می‌شود. برای مثال، در نمونه‌های صنعتی، از دودکش بازخورد می‌گیرند و شرایط تنظیم را کنترل کننده پیاده می‌کند، اما در کار حاضر، می‌توان با روشی ساده شرایط تنظیم را ارائه کرد. روش تحلیل فرکانسی با استفاده از آشکارسازهای نوری روشی است که امکان تعمیم به سرمشعل‌های مختلف با رژیم‌های احتراقی مختلف را دارد و می‌توان مشخصه‌های احتراقی را از آن استخراج کرد. پایداری یکی از این مشخصه‌های است که در این پژوهش به بررسی پایداری شعله با استفاده از روش تحلیل فرکانسی در یک نوع مشعل خاص (شعله سطحی) پرداخته می‌شود. از تحلیل فرکانسی برای تشخیص شعله‌های سلولی و مسطح به صورت محدود استفاده شده است.

## تئوری و استخراج محدوده پایداری مشعل حرارتی

یکی از اصولی که در طراحی مشعل‌های گازی باید مورد توجه قرار گیرد جلوگیری از بازگشت و برخاستگی شعله است. اگر سرعت شعله آرام بر سرعت جریان مخلوط ورودی غلبه کند، بازگشت شعله اتفاق می‌افتد. همچنین، اگر سرعت جریان مخلوط ورودی بر سرعت شعله آرام غلبه کند، برخاستگی شعله ایجاد می‌شود [۲۳].

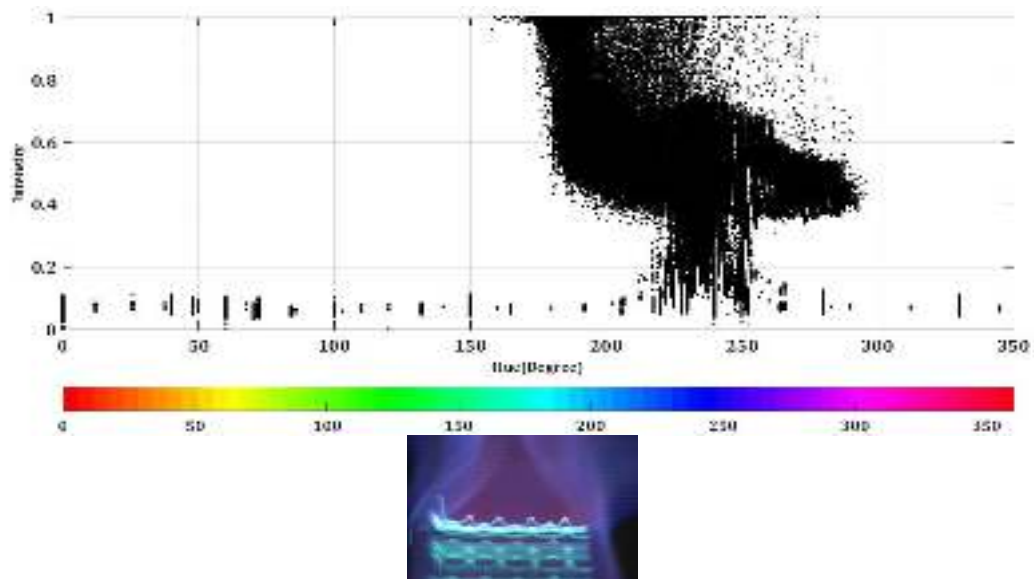
به بیانی دیگر، بازگشت شعله هنگامی اتفاق می‌افتد که شعله بدون خاموشی به داخل مشعل کشیده شود و داخل مشعل پخش شود. بازگشت شعله از آن جهت حائز اهمیت است که کشیده‌شدن شعله به داخل مشعل می‌تواند سبب ایجاد جرقه برای حجم گاز داخل محفظه اختلاط و ایجاد انفجار شود. برخاستگی شعله نیز در شرایطی اتفاق می‌افتد که شعله به سطح سرمشعل نچسبیده باشد، اما در فاصله‌ای از سطح سوراخ سرمشعل پایدار باشد. برخاستگی شعله باعث رهاشدن گازهای نسوخته و در نتیجه ایجاد احتراق ناقص می‌شود. شعله‌ای که با فاصله از سوراخ سرمشعل ایجاد می‌شود سبب انتقال حرارت ضعیف و بروز سروصدا می‌شود. همچنین، برخاستگی شعله باعث نفوذ هوای ثانویه به داخل شعله می‌شود [۲۴].

در پژوهشی، نجارنیکو، در سال ۲۰۱۸[۲۴]، محدوده نسبت‌های همارزی پایدار را با استفاده از پردازش تصویر به کمک فضای رنگی HSI<sup>1</sup> به دست آورده است. فضای رنگی HSI مقدار شدت روشنایی را با دو مفهوم جزء رنگ و مقدار اشباع بیان می‌کند. جزء رنگ مقدار طیف رنگی را بین  $0^{\circ}$  /  $1^{\circ}$  یا  $0^{\circ}$  /  $360^{\circ}$  شامل می‌شود که مقدار  $0^{\circ}$  به رنگ قرمز و مقدار  $1^{\circ}$  یا  $360^{\circ}$  به رنگ بنفش اشاره دارد. جزء اشباع مقدار رقیق‌شدگی رنگ را با نور سفید نمایش می‌دهد. هرچه از محور سفید و مشکی فاصله بگیریم، مقدار اشباع رنگ بیشتر می‌شود. روی محیط دایره، مقدار اشباع ۱ و روی محور مرکزی ۰ است. هرچه مقطع دایره به رنگ سفید نزدیک‌تر باشد، مقدار جزء شدت بیشتر می‌شود. شدت رنگ آبی ۰ و شدت رنگ سفید ۱ است [۲۵].

1. Feedback

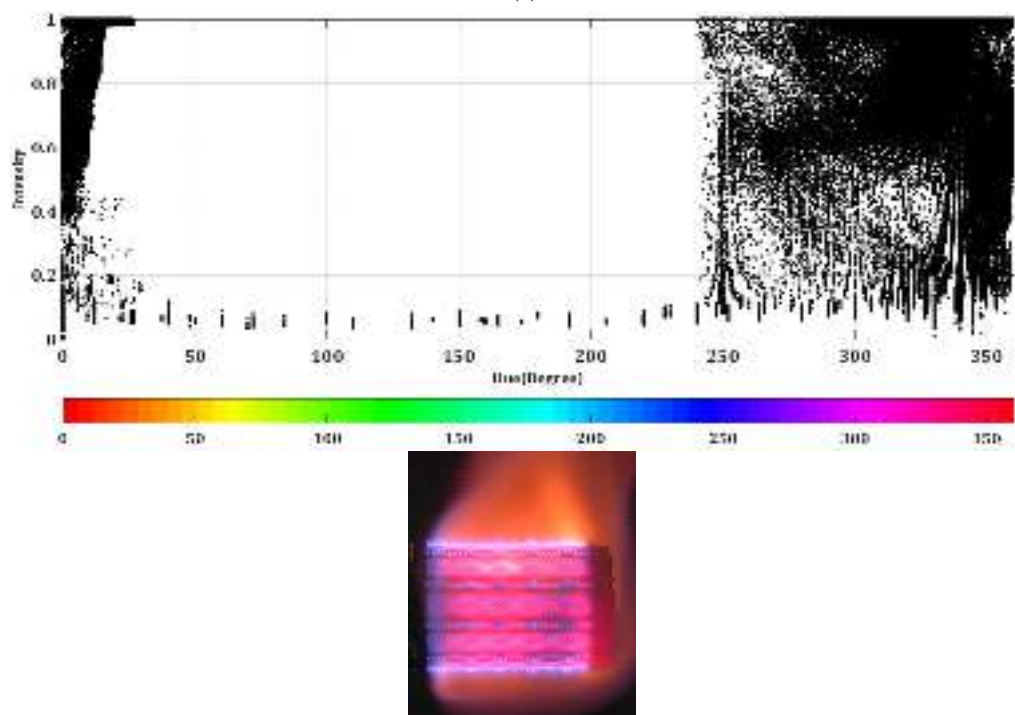
2. Hue-Saturation-Intensity

با استفاده از فضای رنگی HSI، مناطق مختلف احتراقی، از نظر توان مشعل و نسبت همارزی، در پنج حالت شعله سبز، زرد، تشعشعی، آبی پایدار، مرز برخاستگی و خاموشی دسته‌بندی شده است. در شکل ۱، از فضای رنگی HSI بهمراه تصاویر شعله برای چهار نسبت همارزی، در ظرفیت ثابت  $12/77 \text{ kW}$ ، استفاده شده است.



Phi=1.1

(a)



Phi=0.92

(b)

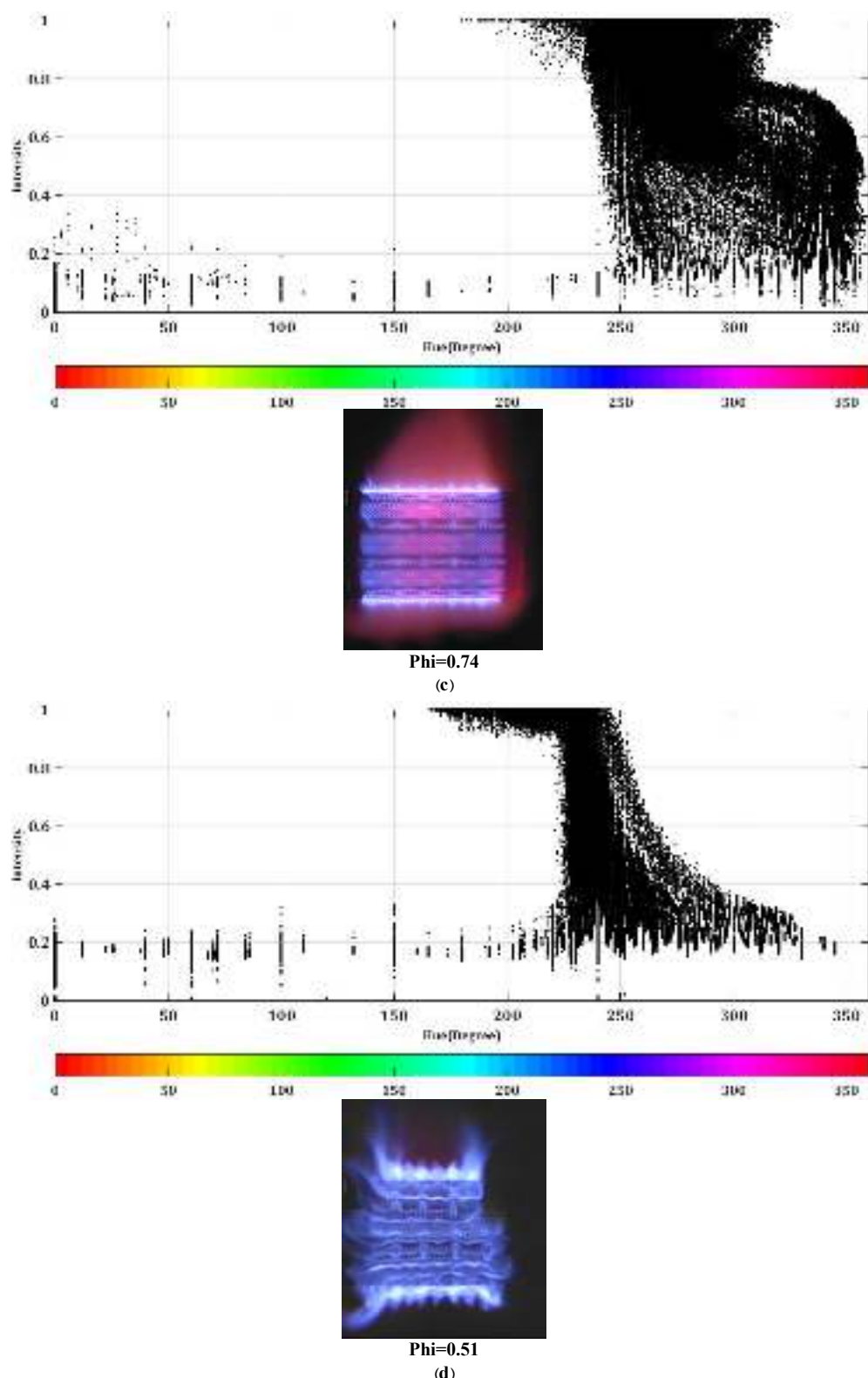


Figure 1- Color intensity spectra in the burner power of 12.77 kW

a) Green flame b) yellow radiant flame c) persistent blue flame d) flame rise and extinction

شکل ۱- نمودار شدت بر حسب طیف رنگی در ظرفیت حرارتی ۱۲/۷۷ کیلووات [۲۴]

(a) شعله سبز، (b) شعله زرد تشعشعی، (c) شعله آبی پایدار و (d) برخاستگی و خاموشی شعله

درواقع، این نمودار کمک می‌کند که به طور حدودی پراکندگی طیف رنگی دریافتی از شعله به دست بیاید. به عنوان مثال، در شکل ۱-۱، شعله آبی پایدار آورده شده است. واضح است که طیف رنگی دریافتی از مشعل بیشتر در محدوده آبی (۲۰۰ تا ۳۰۰ درجه طیفی) و فروسرخ (۳۰۰ تا ۳۶۰ درجه طیفی) است. یعنی حتی قسمت‌هایی از مشعل که به رنگ قرمز مشاهده می‌شود نیز درواقع جزء محدوده فروسرخ است، بهطوری که طیف‌های رنگی سبز و قرمز تقریباً قابل صرف‌نظرکردن است. در این حالت، میانگین جزء H<sub>2</sub> درجه ۲۷۶ است، درحالی که در شکل ۱-a، این مقدار ۲۰۰ درجه است. این موضوع بهدلیل وجود رنگ فیروزه‌ای در نسبت همارزی ۱/۱ است. درواقع، از غلظت طیف فروسرخ و آبی کم شده و در عوض به طیف رنگی فیروزه‌ای (۱۸۰ درجه) اضافه شده است [۲۴]. وجود رنگ فیروزه‌ای در شعله بیانگر تولید رادیکال C<sub>2</sub> است [۲۶].

در شکل ۱-b، یک شعله زرد تشعشعی مشاهده می‌شود که نمودار شدت بر حسب طیف آن شکل ویژه‌ای پیدا کرده است. در این نمودار، تا حدود زیادی فقط طیف قرمز و فروسرخ مشاهده می‌شود. این موضوع اعتبار ویژه‌ای به نام گذاری شعله زرد تشعشعی می‌دهد. در شکل ۱-d، در مقایسه با شکل ۱ (c)، از غلظت طیف فروسرخ کم و به غلظت طیف آبی و کمی هم فیروزه‌ای اضافه شده است. کاملاً واضح است که شعله در نسبت همارزی ۵۱/۵۱ تشعشع فروسرخ پایینی دارد و این موضوع توسط نمودار هم به خوبی نمایش داده شده است [۲۴]. نتایج حاصل از شکل ۱ بر روی بستر آزمون مشعل شعله سطحی انجام شده است که این بستر آزمون در بخش طراحی آزمایش شرح داده می‌شود.

شکل ۲ دیاگرام پایداری مشعل شعله سطحی استوانه‌ای براساس آزمایش‌های تجربی مبتنی بر استفاده از پردازش تصویر را نشان می‌دهد. مناطق مختلف احتراقی، ازنظر توان مشعل و نسبت همارزی، در پنج حالت شعله سبز، زرد تشعشعی، آبی پایدار، مرز برخاستگی و خاموشی دسته‌بندی شده است. ذکر این نکته لازم است که برخاستگی شعله از روی سر مشعل به صورت یکجا نبوده، بلکه از شعله‌های کوچک نزدیک لبه‌ها شروع شده و با ازدیاد بیشتر هوا، به سمت مرکز سر مشعل می‌رود. در نتیجه، حد برخاستگی همان ابتدای برخاستگی شعله، که از طرفین است، درنظر گرفته شده است [۲۴]. نتایج حاصل از شکل ۲ بر روی بستر آزمون مشعل شعله سطحی، توسط نجارنیکو [۲۴]، آورده شده است که از این بستر آزمون در کار حاضر نیز استفاده شده است. افزایش دامنه پایداری با کاهش ناحیه بروز شعله زرد تشعشعی و افزایش حد برخاستگی شعله با افزایش طرفیت حرارتی، همراه است.

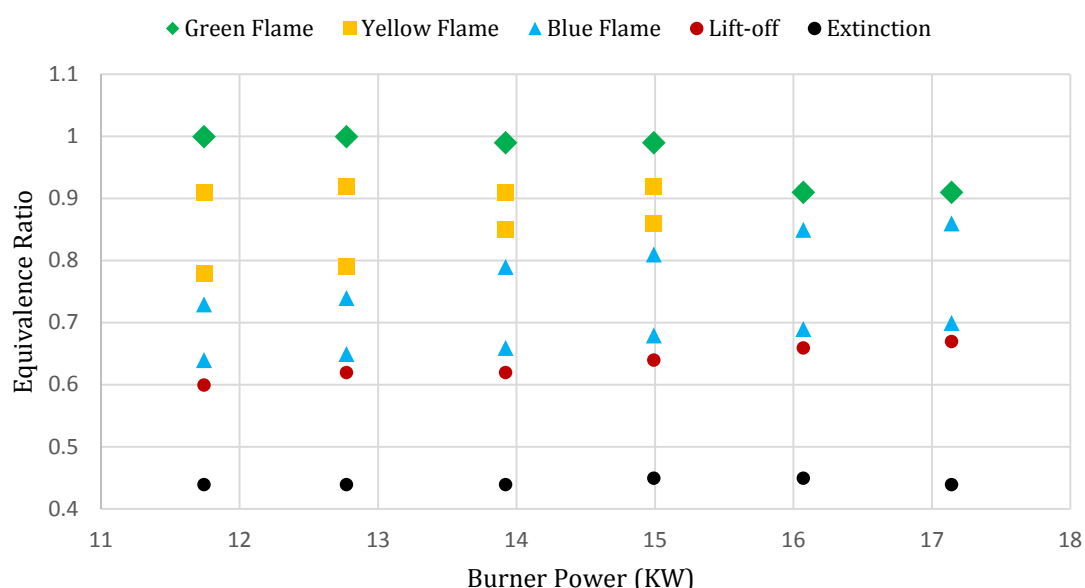


Figure 2- Cylindrical surface flame burner stability diagram[12]

شکل ۲- دیاگرام پایداری مشعل شعله سطحی استوانه‌ای [۲۴]

## طراحی آزمایش

یک مشعل شعله سطحی، که به طور گستردگی در صنایع احتراق (دیگ‌های چگالشی) به کار برده می‌شود، در این مطالعه استفاده شده است. همان‌طور که در شکل ۳ نشان داده شده است، گاز طبیعی از یک خط گاز (۱) با فشار نسبی ۹/۶۵ کیلوپاسکال به مخلوط‌کننده (۴)، از طریق یک تنظیم‌کننده (۲)، که فشار را تنظیم می‌کند، وارد می‌شود. سرعت جریان سوخت قبل از ورود به مخلوط‌کننده توسط یک روتامتر (۳) اندازه‌گیری می‌شود. جریان هوا توسط دمنده (۵)، به مخلوط‌کننده با تنظیم‌کننده در مسیر خود و یک روتامتر برای اندازه‌گیری جریان آن، دمیده می‌شود. دو دماسنجد و دو فشارسنج در هر مسیر برای کنترل این پارامترها قبل از مخلوط استفاده می‌شود. پس از اختلاط، جریان چندجزئی به سمت مشعل شعله سطحی هدایت می‌شود و دمای آن با یک دماسنجد اندازه‌گیری می‌شود. توسط دماسنجد می‌توان امکان بررسی پارامتریک اثر پیش‌گرمایش و امکان تغییر شرایط دمای ورودی بر پارامترهای عملکردی مشعل را مورد ارزیابی و مطالعه قرار داد که البته در کار حاضر از آن استفاده نشده است، ولی این تجهیز در مجموعه ستر آزمون موجود است. اختلاط سوخت و هوا قبل از ورود به سر مشعل انجام شده و توسط وسیله‌ای به نام مخلوط‌کننده انجام می‌شود. ظرفیت نامی مشعل KW ۳۰ است. در جدول ۱، تجهیزات اندازه‌گیری به همراه محدوده‌های آن‌ها به صورت مختصر آورده شده است.

جریان حسگر نوری BPX 65 توسط مقاومت تبدیل به ولتاژ شده، سپس، این ولتاژ، توسط آمپلی فایر، ۱۰۰۰۰ برابر تقویت شده و در آخر به سیستم داده‌برداری ADV/USB-4704-AE متصل می‌شود و براساس نرخ ۱۴ بیتی سیستم داده‌برداری، سیگنال سری زمانی نوسانات شدت نور دریافتی به صورت دیجیتالی و با رزولوشن مشخص ذخیره می‌شود. سپس، با استفاده از تبدیل فوریه سریع، نوسانات شدت نور بر حسب فرکانس ذخیره می‌شود. برد حسگر نوری در فاصله ۴۰ سانتی‌متری از سطح سر مشعل قرار می‌گیرد. نرخ داده‌برداری زمانی و نرخ داده‌برداری فرکانسی به ترتیب ۱۰ ثانیه و ۱۰ کیلوهرتز است. آزمایش‌ها در دمای محیط ۲۷ درجه سلسیوس، فشار محیطی ۸۸/۵ کیلوپاسکال، محدوده دبی معادل ۱/۶-۱/۱ متر مکعب بر ساعت و ظرفیت محدوده مشعل ۲۰-۱۰ کیلووات انجام می‌شود. تجزیه و تحلیل عدم قطعیت داده‌های تجربی انجام شده و سطح قابل قبول زیر انحراف استاندارد نسبی ۱۰٪ داده‌ها محاسبه شده است.

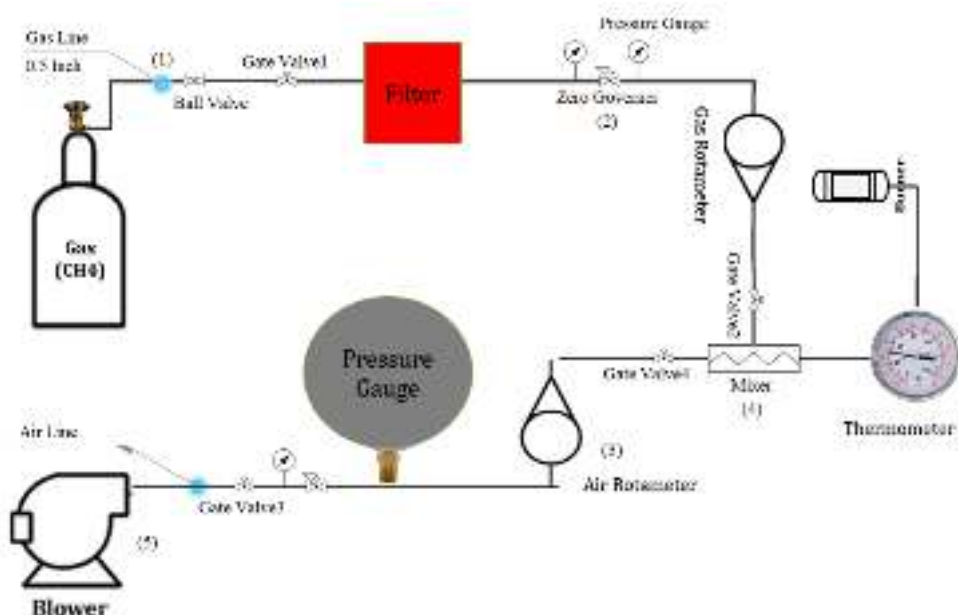


Figure 3- Air and fuel pipeline map with control and metering equipment  
شکل ۳- نقشه لوله‌کشی مسیر هوا و سوخت به همراه تجهیزات کنترلی و اندازه‌گیری

جدول ۱- محدوده و دقیقیت تجهیزات اندازه‌گیری

Table 1- Scope and accuracy of measuring equipment

Equipment	Range	Precision
Air travel thermometer	0-60 °C	±1 °C
Gas path thermometer	0-60 °C	±1 °C
Air Rotameter	0.5-45 m <sup>3</sup> /h	±1 m <sup>3</sup> /h
Gas Rotameter	0.3-3 m <sup>3</sup> /h	±0.05 m <sup>3</sup> /h
Relative pressure sensor for gas and air paths	0-100 mbar	±1mbar

در شکل ۴ طرحواره‌ای از بستر آزمون و تجهیزات اندازه‌گیری نشان داده شده است. برای جلوگیری از تداخل نوری، نور محیط حذف شده است. از شرایط مرزی آکوستیکی نیز، صرف‌نظر شده است، چراکه آزمایش‌ها در محفظه احتراق انجام شده است. حسگر نوری، برای ایجاد شناوری<sup>۱</sup> در نسبت‌های همارزی زیاد (غنی‌سوز) و ایجاد حجمی از شعله در اطراف سر مشعل، در فاصله مناسبی از سر مشعل قرار گرفته است، به‌طوری که حسگر نوری سطح سر مشعل را مورد بررسی قرار می‌دهد. نوسانات شدت نور دریافتی از شعله بیانگر تغییرات غلظت گونه‌های احتراقی است. برای بیان تغییرات غلظت یک گونه خاص باید از فیلتر تداخلی استفاده کرد. به‌طوری که با اندازه‌گیری شدت نور دریافتی در یک محدوده طول موجی به‌خصوص، که آن گونه نورتابی شیمیایی دارد، می‌توان تغییرات غلظت آن گونه را بدست آورد. شکل ۵ نوسانات شدت نور دریافتی از شعله بر حسب زمان را در نسبت همارزی ۰/۶۴ و ظرفیت حرارتی ۱۷/۱۴ کیلووات، نشان می‌دهد که از نتایج کار حاضر است.

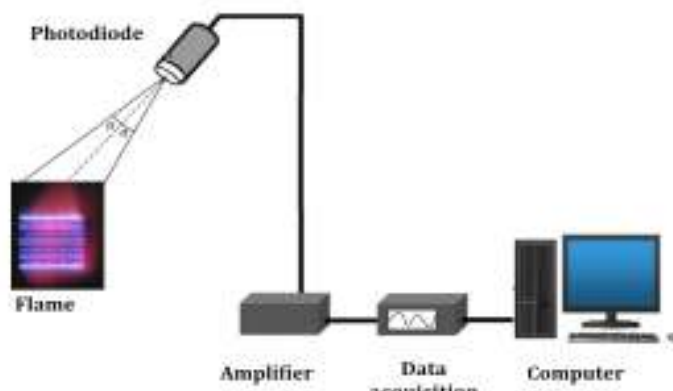


Figure 4- Schematic of the set up and measuring equipment

شکل ۴- طرحواره‌ای از بستر آزمون و تجهیزات اندازه‌گیری

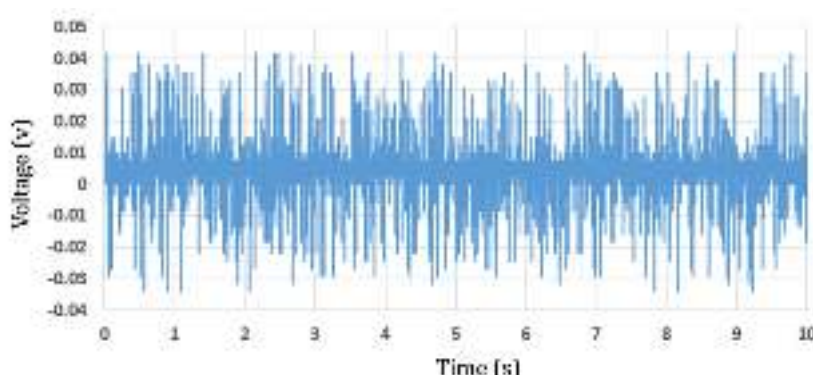


Figure 5- Changes in the light intensity of the flame over time at the equivalence ratio of 0.64 and burner power of 17.14 kW

شکل ۵- نوسانات شدت نور دریافتی از شعله بر حسب زمان در نسبت همارزی ۰/۶۴ و ظرفیت حرارتی ۱۷/۱۴ کیلووات

1. Buoyancy

نوسانات شدت نور دریافتی از شعله برحسب زمان، توسط کد تبدیل فوریه سریع در فضای نرمافزار متلب، تبدیل به منحنی تراکم توان طیفی یا همان منحنی پاسخ فرکانسی می‌شود. در منحنی تراکم توان طیفی، یک پیک فرکانسی اصلی ( $f_1$ ) یا فرکانس طبیعی نوسانات و یک سری پیک‌های فرکانسی هارمونیک ( $f_2$ ) موجود است که این پیک‌ها بیانگر انحراف شعله از محور مرکزی و تغییر فرکانس چرخش جریان ورودی است [۱۰]. در منحنی تراکم توان طیفی، بعد از عبور از حالت گذرا و رسیدن به حالت دائمی، پیک فرکانسی اصلی به صورت طبیعی مشاهده می‌شود. در شکل ۶، منحنی پاسخ فرکانسی، بهازای نسبت همارزی  $16/07$  و در ظرفیت  $16.07$  کیلووات، که از تبدیل فوریه سریع به دست آمده، نشان داده شده است. البته پیک فرکانسی اصلی در نسبت‌های همارزی زیاد (غنی‌سوز) ازین می‌رود، چراکه شعله در نسبت‌های همارزی زیاد به سمت خاموشی می‌رود که این موضوع در شکل ۷ نشان داده است. شکل ۶ و ۷ جزء نتایج تحقیق حاضرند.

مبناًی انتخاب پیک فرکانسی اصلی به این شکل است که بیشینه مطلق پیک‌های فرکانسی درنظر گرفته می‌شود. به صورت به صورت طبیعی این پیک فرکانسی در محدوده یا باند فرکانسی مشخصی قرار می‌گیرد که در شعله‌های پیش‌آمیخته و آرام این محدوده فرکانسی  $7$  تا  $11$  هرتز است. این محدوده در مقالات مشابه، نظری مقالات کادوواکی و همکاران [۱۴]، لحاظ شده است و توسط مقالات تایید می‌شود. علت انتخاب فرکانس‌های غالب شعله در این محدوده به عواملی نظری شرایط محیطی، مثل فشار محیط، نواحی شعله شامل ناحیه پیش‌گرم و واکنشی، که توسط روش‌هایی نظری لبیابی به دست می‌آیند، و سرعت مخلوط نسوخته باز می‌گردد که می‌تواند در نوسانات شعله تاثیرگذار باشد [۱۰].

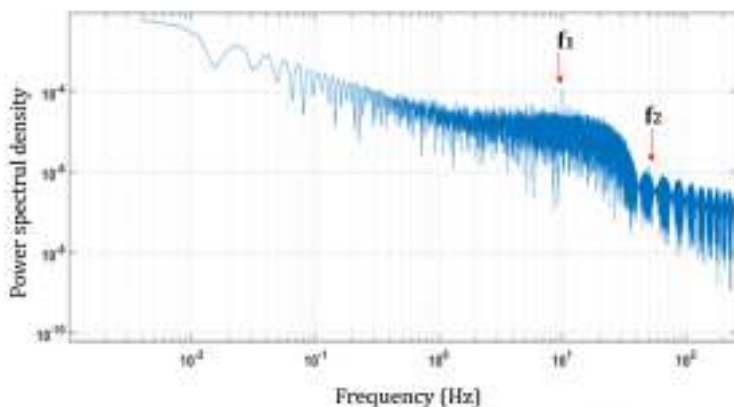


Figure 6- Power spectral density at equivalence ratio of 0.76 and burner power of 16.07 kW

شکل ۶- نمودار توان طیفی در نسبت همارزی  $16/07$  و ظرفیت حرارتی  $16.07$  کیلووات

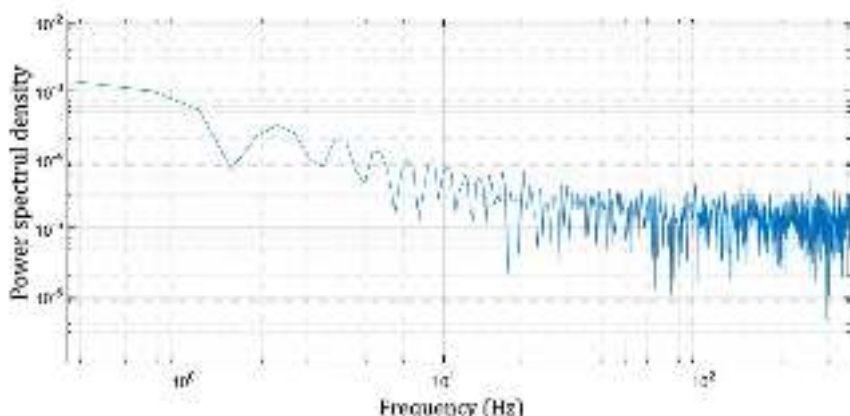


Figure 7- Power spectral density at equivalence ratio of 1.24 and burner power of 16.07 kW

شکل ۷- نمودار توان طیفی در نسبت همارزی  $1/24$  و ظرفیت حرارتی  $16.07$  کیلووات

فرکانس طبیعی نوسانات مشخصه‌های چرخشی پیشانی شعله را نشان می‌دهد. رفتار دینامیکی شعله پیچیده است. برای اینکه بتوانیم این رفتار را برای شعله پیش‌آمیخته نشان دهیم، شعله‌های پیش‌آمیخته به دو ناحیه شعله‌های سلولی و شعله‌های مسطح تقسیم‌بندی می‌شوند. این تقسیم‌بندی وابسته به ظرفیت حرارتی (نرخ جریان) و نسبت همارزی است [۱۴]. در شکل ۸ نمونه‌ای از تصاویر شعله سلولی و مسطح آورده شده است.

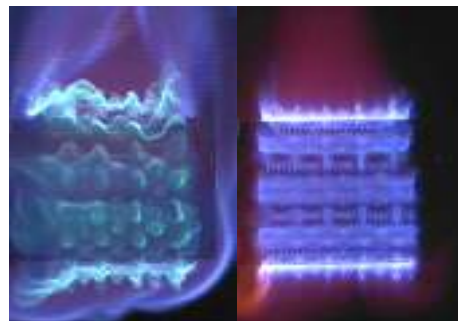


Figure 8-(right) Cellular flame at burner power 17.14 and equivalence ratio of 0.61 (left) planar flame at burner power 17.14 and equivalence ratio of 1.11

شکل ۸- شعله سلولی در ظرفیت ۱۷/۱۴ و نسبت همارزی ۰/۶۱ (سمت راست)، شعله مسطح در ظرفیت ۱۷/۱۴ و نسبت همارزی ۱/۱۱ (سمت چپ)

## نتایج و بحث

در شعله‌های مسطح، با افزایش نرخ جریان (ظرفیت حرارتی)، فرکانس طبیعی نوسانات نیز افزایش می‌یابد، چراکه با افزایش نرخ جریان، سرعت گازهای داغ سوخته شده زیاد می‌شود. در شعله‌های سلولی، با افزایش نرخ جریان (ظرفیت حرارتی)، فرکانس طبیعی نوسانات کاهش پیدا می‌کند [۱۴]. در شکل ۹، فرکانس طبیعی نوسانات (پیک فرکانسی اصلی) بر حسب نسبت‌های همارزی در ۶ ظرفیت حرارتی (نرخ جریان) مختلف مشاهده می‌شود. در جدول ۲، محدوده ظرفیت حرارتی و نرخ جریان در آزمایش‌ها آورده شده است. در مشعل استوانه‌ای، همانند مشعل مسطح، شاهد شعله‌های سلولی هستیم که با پیوستن این شعله‌ها به یکدیگر شعله‌های مسطح شکل می‌گیرد. در واقع، مشعل استوانه‌ای ورقه‌ای است که به صورت استوانه در آمده است. در نتیجه، اصطلاح شعله سلولی و شعله مسطح نیز برای سر مشعل استوانه‌ای صادق است. شعله مسطح در مرجع [۲۱] و برای مشعل شعله سطحی آمده است.

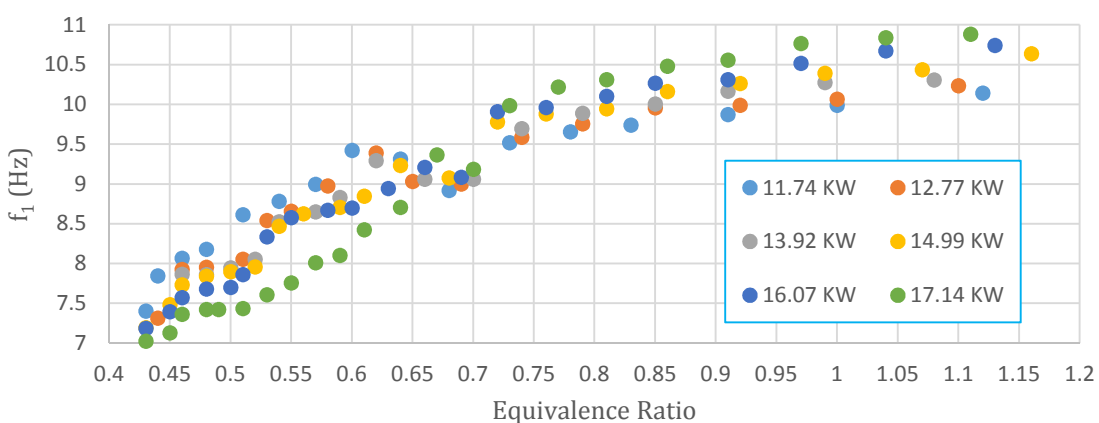


Figure 9- Relationship between the typical-oscillation frequency of fluctuations and the equivalence ratio at different burner powers

شکل ۹- رابطه بین فرکانس طبیعی نوسانات و نسبت همارزی در ظرفیت‌های حرارتی مختلف

## جدول ۲- محدوده ظرفیت حرارتی و نرخ جریان در آزمایش‌ها

Table 2 burner power Range and Flow Rate in Experiments

burner power (kW)	Flow rate (cubic meters per hour)
11.74	1.1
12.77	1.2
13.92	1.3
14.99	1.4
16.07	1.5
17.14	1.6

در نسبت همارزی ۰/۹۱ و ظرفیت‌های حرارتی ۱۱/۷۴، ۱۳/۹۲، ۱۶/۰۷، ۱۷/۱۴ مشاهده می‌شود که با افزایش ظرفیت حرارتی، فرکانس طبیعی نوسانات بیشتر می‌شود. با توجه به نکات مطرح شده، نسبت همارزی ۰/۹۱ در ناحیه شعله مسطح قرار دارد و پایدار است. در نسبت همارزی ۰/۴۸ و ظرفیت‌های حرارتی ۱۱/۷۴، ۱۲/۷۷، ۱۳/۹۲، ۱۴/۹۹، ۱۶/۰۷، ۱۷/۱۴ مشاهده می‌شود که با افزایش ظرفیت حرارتی، فرکانس طبیعی نوسانات کمتر می‌شود. با توجه به نکات مطرح شده، نسبت همارزی ۰/۴۸ در ناحیه شعله سلولی قرار دارد و ناپایدار است. روندها در شعله‌های سلولی و مسطح با یکدیگر متفاوت است که ناشی از رفتار دینامیکی پیشانی شعله است. درواقع، عامل اصلی بالا و پایین‌آمدن فرکانس طبیعی نوسانات سرعت سوختن است.

در ظرفیت‌های حرارتی (نرخ‌های جریان) یکسان، کاهش شدید فرکانس طبیعی نوسانات نشان‌دهنده ظهور شعله‌های سلولی است. بنابراین، امکان تشخیص گذر شعله از حالت مسطح به سلولی فراهم می‌شود. زمانی که در یک ظرفیت حرارتی (نرخ جریان) ثابت، با افزایش نسبت همارزی، شاهد افزایش فرکانس طبیعی نوسانات نباشیم، انتقال از شعله سلولی به شعله مسطح اتفاق می‌افتد که این مسئله معیار کمی انتقال از شعله سلولی به شعله مسطح است. برای نمونه، در شکل ۱۰، روند گذر از شعله سلولی به شعله مسطح، در ظرفیت حرارتی ۱۷/۱۴ کیلووات، نشان داده شده است.

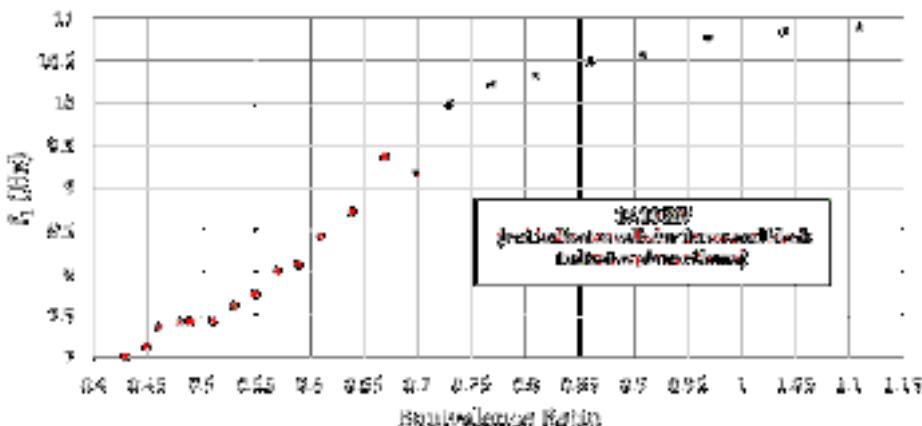


Figure 10- Transition process from cellular flame to planar flame at burner power 17.14 kW

شکل ۱۰- روند گذر از شعله سلولی به شعله مسطح در ظرفیت حرارتی ۱۷/۱۴ کیلووات

با توجه به شکل ۹ و ۱۰، می‌توان به موارد و نکاتی به شرح ذیل اشاره کرد:

- در نسبت‌های همارزی کم و در شعله‌های سلولی، زمانی که نرخ جریان زیاد می‌شود، نرخ انتقال حرارت به سطح سرمشعل کاهش می‌یابد، چراکه بین سطح مشعل و شعله پیش‌آمیخته فاصله بیشتر می‌شود [۲۸، ۲۷].
- در نسبت‌های همارزی بیشتر در شعله‌های مسطح، بهدلیل ضعیفترشدن انبساط حرارتی، انتقال حرارت نقش تعیین‌کننده‌ای روی شعله‌های پیش‌آمیخته دارد [۲۹].
- سطح ناپایداری محل گذر از شعله سلولی به شعله مسطح است.

- اثرات اغتشاشی-دماجی یک عامل بی ثبات‌کننده در نسبت‌های همارزی کم است.
- اثرات اغتشاشی-دماجی در نسبت‌های همارزی کم تاثیر زیادی روی ناپایداری شعله پیش‌آمیخته متان و هوا دارد.
- شکل‌گیری شعله‌های سلولی باعث کاهش شدید فرکانس طبیعی نوسانات می‌شود یا به بیان دیگر، با کاهش شدید فرکانس نوسانات، شعله‌های سلولی شکل می‌گیرند.
- در نسبت‌های همارزی زیاد، که شعله به سمت خاموشی می‌رود، پیک‌های فرکانسی ازین می‌روند. لذا، در قسمت غنی‌سوز در نسبت‌های همارزی که پیک‌ها ازین می‌روند، پایان محدوده پایداری است.
- با توجه به نکات مطرح شده، در شکل ۱۱، شعله‌های سلولی و مسطح، برمبنای ظرفیت حرارتی و نسبت همارزی، تقسیم‌بندی شده است.

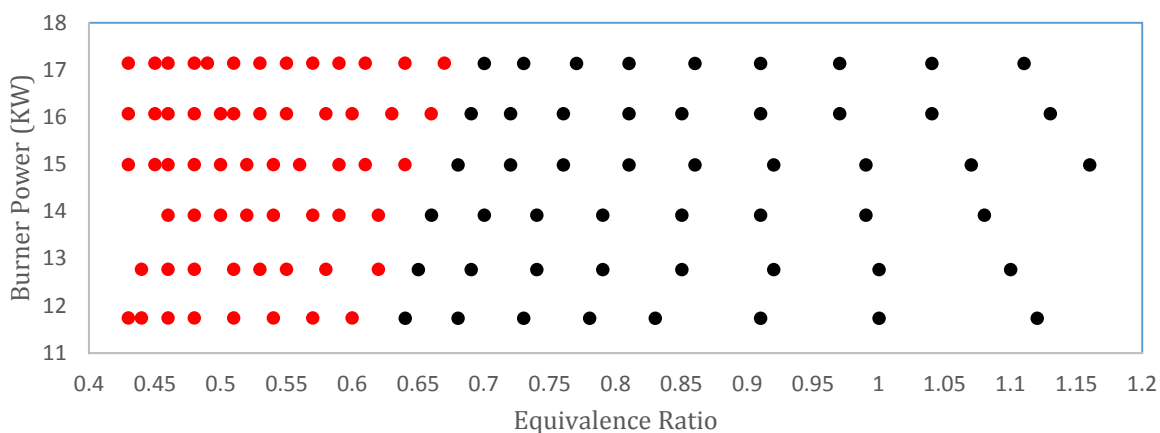


Figure 11- Classification of cellular and planar flames by burner power in terms of equivalence ratio (red indicates cellular flame and black indicates planar flame)

شکل ۱۱- تقسیم‌بندی شعله‌های سلولی و مسطح برمبنای ظرفیت حرارتی بر حسب نسبت همارزی (رنگ قرمز بیان‌گر شعله سلولی و رنگ سیاه بیان‌گر شعله مسطح)

در جدول ۳، محدوده نسبت‌های همارزی پایدار از روش پردازش تصویر توسط نجارانیکو [۲۴] و تحلیل فرکانسی با یکدیگر مقایسه شده است. محدوده نسبت‌های همارزی پایدار با استفاده از روش پردازش تصویر مطابق با اصول شرح داده شده در شکل ۲ است. در همین رابطه، می‌توان گفت که مرز پایداری، در حالت برخاستگی و در یک ظرفیت حرارتی (نرخ جریان) مشخص، از دو روش پردازش تصویر و تحلیل فرکانسی با هم تطابق دارند. محدوده نسبت‌های همارزی پایدار با روش پردازش تصویر کوچکتر از محدوده نسبت‌های همارزی پایدار از روش تحلیل فرکانسی است، ولی محدوده نسبت‌های همارزی پایدار از روش تحلیل فرکانسی به طور کامل محدوده نسبت‌های همارزی پایدار از روش پردازش تصویر را پوشش می‌دهد. محدوده نسبت‌های همارزی پایدار (محدوده پایداری) با استفاده از روش نورتابی شیمیابی توسط سلطانیان [۳۰] استخراج شده است. این محدوده پایداری، به ازای ظرفیت‌های حرارتی مختلف، از نسبت همارزی  $0/78 \sim 0/85$  است که تاییدی بر نتایج مطرح شده است. دلیل اختلاف محدوده پایداری با استفاده از دو روش تحلیل فرکانسی و پردازش تصویر صرفاً اختلاف بین شیوه استخراج محدوده پایداری از داده‌های به دست آمده با استفاده از روش تحلیل فرکانسی و روش پردازش تصویر است. در روش تحلیل فرکانسی، شعله براساس فرکانس طبیعی نوسانات به دو بخش شعله‌های سلولی و شعله‌های مسطح تقسیم‌بندی می‌شود که در آن شعله‌های سلولی به سمت ناپایداری پیش می‌رود. شعله‌های مسطح نیز به سمت پایداری سوق پیدا می‌کنند. در روش پردازش تصویر نیز، با استفاده از طیف‌های رنگی دریافتی از مشعل، شعله به پنج حالت شعله سبز، زرد، تشعشعی، آبی پایدار، مرز برخاستگی و خاموشی تقسیم می‌شود.

جدول ۳- مقایسه محدوده پایداری از روش پردازش تصویر و تحلیل فرکانسی

Table 3- Comparison of the stable  $\phi$  range of image processing and frequency analysis

burner power (kW)	Stable $\phi^1$ range using Image Processing Method	Stable $\phi$ range using Frequency Analysis Method
11.74	0.64-0.73	0.64-1.12
12.77	0.65-0.74	0.65-1.1
13.92	0.66-0.79	0.66-1.08
14.99	0.68-0.81	0.68-1.16
16.07	0.69-0.85	0.69-1.13
17.14	0.7-0.86	0.7-1.11

<sup>1</sup> Equivalence ratio

## نتیجه‌گیری

- زمانی که نرخ جریان (ظرفیت حرارتی) افزایش می‌یابد، محدوده شعله سلولی عریض‌تر می‌شود. علت این مسئله آن است که سطح ناپایداری در خلال افزایش سرعت سوزش بالاتر می‌رود.
- در ظرفیت‌های حرارتی (نرخ‌های جریان) یکسان، کاهش شدید فرکانس طبیعی نوسانات نشان‌دهنده ظهور شعله‌های سلولی است. بنابراین، امکان تشخیص گذر شعله از حالت مسطح به سلولی، فراهم می‌شود.
- زمانی که در یک ظرفیت حرارتی (نرخ جریان) ثابت، با افزایش نسبت همارزی، شاهد افزایش فرکانس طبیعی نوسانات نباشیم، انتقال از شعله سلولی به شعله مسطح اتفاق می‌افتد. شروع انتقال از شعله سلولی به شعله مسطح در ظرفیت‌های حرارتی  $11/74$ ،  $11/77$ ،  $12/77$ ،  $13/92$ ،  $14/99$ ،  $16/07$  و  $17/14$  کیلووات به ترتیب در نسبت‌های همارزی  $0/6$ ،  $0/62$ ،  $0/64$ ،  $0/66$  و  $0/67$  اتفاق می‌افتد. محل شروع انتقال از شعله سلولی به شعله مسطح، منطبق بر شروع ناحیه برخاستگی براساس داده‌های پردازش تصویر است. مشعل پیش‌آمیخته شعله‌سطوحی در موارد صنعتی، مانند دیگ‌های چگالشی کاربرد دارد. این پژوهش، دارای جنبه‌های تازه‌ای از بررسی پایداری شعله می‌باشد بدون آنکه سبب اختلال در شکل شعله شود و به رژیم شعله آسیب وارد کند.

## منابع

1. J. W. Robinson, *Practical handbook of spectroscopy*, CRC Press, Routledge, 2017.
2. M., el-HAMDI, M. Gorman and K. A. Robbins, "Deterministic chaos in laminar premixed flames: Experimental classification of chaotic dynamics," *Combustion science and technology*, 94, No. 1–6, 1993, pp. 87–101.
3. M. Izumikawa, T. Mitani and T. Niioka, "Experimental study on cellular flame propagation of blend fuels," *Combustion and flame*, 73, No. 2, 1988, pp. 207–214.
4. F. Williams, *Combustion Theory*, Redwood City, Addison-Wesley, 2<sup>nd</sup> Edition, CA, 1985,.
5. C. Clanet and G. Searby, "First experimental study of the Darrieus-Landau instability," *Physical review letters*, 80, No. 17, 1998, pp. 3867-3870.
6. P. Clavin, "Dynamic behavior of premixed flame fronts in laminar and turbulent flows," *Progress in energy and combustion science*, 11, No. 1, 1985, pp. 1–59.
7. S. Kadokami, "Instability of a deflagration wave propagating with finite Mach number," *Physics of Fluids*, 7, No. 1, 1995, pp. 220–222.
8. X. Qin, H. Kobayashi and T. Niioka, "Laminar burning velocity of hydrogen-air premixed flames at elevated pressure," *Experimental Thermal and Fluid Science*, 21, No. 1–3, 2000, pp. 58–63.
9. G. I. Sivashinsky, "Instabilities, pattern formation, and turbulence in flames," *Annual Review of Fluid Mechanics*, 15, No.1, 1983, pp. 179–199.
10. H. Gotoda and T. Ueda, "Transition from periodic to non-periodic motion of a bunsen-type premixed flame tip with burner rotation," *Proceedings of the Combustion Institute*, 29, No. 2, 2002, pp. 1503–1509.
11. H. Gotoda and T. Ueda, "Orbital instability and prediction of a Bunsen flame tip motion with burner rotation," *Combustion and flame*, 140, No. 4, 2005 , pp. 287–298.
12. F. Takens, "Detecting strange attractors in turbulence," *Lecture notes in mathematics*, 898, No. 1, 1981, pp. 366–381.
13. A. Kaewpradap and S. Kadokami, "Heat-loss effects on the chaotic behavior of cellular premixed flames generated by intrinsic instability," *Journal of Thermal Science and Technology*, 2, No. 1, 2007, pp. 79–89.
14. S. Kadokami and N. Ohkura, "Time series analysis on the emission of light from methane-air lean premixed flames: diagnostics of the flame Instability," *Transactions of the Japan Society for Aeronautical and Space Sciences*, 51, No. 173, 2008, pp. 133–138.

15. S. Lee, S. M. Kum and C.-E. Lee, "An experimental study of a cylindrical multi-hole premixed burner for the development of a condensing gas boiler," *Energy*, 36, No. 7, 2011, pp. 4150–4157.
16. R. R. John and M. Summerfield, "Studies of the mechanism of flame stabilization by a spectral intensity method," *Jet Propulsion*, 25, 1955, pp. 535-540.
17. R. R. John and M. Summerfield, "Effect of turbulence on radiation intensity from propane-air flames," *Jet Propulsion*, 27, 1957, pp. 224-230.
18. I. Hurle and et al. "Sound emission from open turbulent premixed flames," in *Proceedings of the Royal Society of London A: Mathematical, Physical and Engineering Sciences*, 1968. The Royal Society.
19. A. Kaewpradap and S. Jugjai, "Effects of CH<sub>4</sub> and CO<sub>2</sub> on Intrinsic Instability of Synthetic Thai Natural Gas Flames," *The 7th TSME International Conference on Mechanical Engineering*, Chiang Mai, Thailand, 2016.
20. A. Kaewpradap and S. Kadowaki, "Instability Influenced by CO<sub>2</sub> and Equivalence Ratio in Oxyhydrogen Flames on Flat Burner," *Combustion Science and Technology*, 189, No. 3, 2017, pp. 438–452.
21. W. Kim et al., "Wrinkling of Large-Scale Flame in Lean Propane–Air Mixture Due to Cellular Instabilities," *Combustion Science and Technology*, 191, No. 3, 2019, pp. 491–503.
22. F. Schiro and A. Stoppato, "Experimental investigation of emissions and flame stability for steel and metal fiber cylindrical premixed burners," *Combustion Science and Technology*, 191, No. 3, 2019, pp. 453–471.
23. S. R. Turns, *An introduction to combustion*, New York, McGraw-hill, Vol. 287. 1996.
24. M. Najarniku, *Experimental analysis of a premixed perforated burner used in condensing boilers*, Ms Thesis, Department of Mechanical Engineering, Tarbiat Modares University, 2018. (in Persian)
25. W. Gonzalez and R. E. Woods, *Eddins, Digital Image Processing using MATLAB*, Third New Jersey, Prentice Hall, 2004.
26. H. W. Huang and Y. Zhang, "Flame colour characterization in the visible and infrared spectrum using a digital camera and image processing," *Measurement Science and Technology*, 19, No. 8, 2008, pp. 1-9.
27. G. Joulin and P. Clavin, "Linear stability analysis of nonadiabatic flames: diffusional-thermal model," *Combustion and Flame*, 35, 1979, pp. 139–153.
28. S. Sohrab and B. Chao, "Influences of upstream versus downstream heat loss/gain on stability of premixed flames," *Combustion Science and Technology*, 38, No. 5–6, 1984, pp. 245–265.
29. S. Kadowaki "The effects of heat loss on the burning velocity of cellular premixed flames generated by hydrodynamic and diffusive-thermal instabilities," *Combustion and Flame*, 143, No. 3, 2005, pp. 174–182.
30. H. Soltanian, M. Z. Targhi and H. Pasdarshahri, "Chemiluminescence usage in finding optimum operating range of multi-hole burners," *Energy*, 180, 2019, pp. 398–404.

### English Abstract

## Diagnostics of flame instability in a premixed surface flame burner using frequency analysis

Mohammad Hadi Badrkhanan<sup>1</sup>, Mohammad Zabetian Targhi<sup>2\*</sup> and Mohammad Reza Karafi<sup>3</sup>

1- Department of Mechanical Engineering, Tarbiat Modares University, Tehran, M.badrkhahan@modares.ac.ir

2- Department of Mechanical Engineering, Tarbiat Modares University, Tehran, Zabetian@modares.ac.ir

3- Department of Mechanical Engineering, Tarbiat Modares University, Tehran, Karafi@modares.ac.ir

\*Corresponding author

(Received: 2019.08.26, Received in revised form: 2019.12.24, Accepted: 2019.12.31)

This study investigates the stability of a surface flame burner using a photodiode and data acquisition system. The light intensity fluctuations were measured by the photodiode and, using fast Fourier transform, they were transferred from the temporal to the frequency space. To illustrate the dynamic behavior of premixed flames, flames are divided into two regions of cellular flames and surface flames. This classification is dependent on the flow rate and the equivalence ratio. In surface flames, as the flow rate increases, the oscillation frequency also increases because the hot burned gas velocity increases. In cellular flames, as the flow rate increases, oscillation frequency decreases. At identical flow rates, the sharp decrease in the oscillation frequency indicates the appearance of cellular flames so we can find the transition from the surface flame to the cellular flame. At a constant flow rate, with an increase in the equivalence ratio, there is no increase in the oscillation frequency, the transition from the cellular flame to the surface flame occurs. The initiation of the transition from the cellular flame to the surface flame occurs at flow rates of 1.1, 1.2, 1.3, 1.4, 1.5, 1.6 m<sup>3</sup>/h and at equivalence ratios of 0.6, 0.62, 0.62, 0.64, 0.66, and 0.67, respectively. The location of the transition corresponds to the start of the liftoff zone based on the image processing. This research is innovative because it is possible to evaluate flame stability using a non-intrusive method without disturbing the flame shape and damaging the flame regime.

**Keywords:** Intrinsic instability, Cellular flame, Surface flame, Typical-oscillation frequency, Frequency analysis